

**МОДЕЛИРОВАНИЕ РАСПРЕДЕЛЕНИЯ ТОКА В КОАКСИАЛЬНОМ КАНАЛЕ  
С УЧЕТОМ АНИЗОТРОПИИ ПРОВОДИМОСТИ**

*Б. А. Коняев, Г. Б. Парфенов*

(Москва)

Рассматривается моделирование задачи о распределении потенциала и тока в среде с анизотропной проводимостью для осесимметричного случая.

Имеется ряд работ [1-3], в которых решается задача о распределении электрического потенциала и тока в среде, обладающей анизотропной проводимостью. Решение пространственных задач при параметрах Холла  $\omega \tau \neq 0$  сопряжено со значительными трудностями. В некоторых частных случаях решение упрощается, так как возможно электрическое моделирование, при использовании в моделях материалов с соответствующим тензором проводимости [4]. Однако реализация в моделях необходимой анизотропии проводимости представляет собой известные технические трудности (см. [4,5]).

Описаны методы создания моделей, обладающих анизотропной проводимостью только для плоского случая.

Простое решение задачи для осесимметричного случая (оси  $r, \theta, z$ ) возможно при следующих упрощающих предположениях:

- 1) электропроводность среды  $\sigma = \text{const}$ ;
- 2) параметр Холла  $\omega \tau = \text{const}$ ;
- 3) магнитная индукция  $B (0, 0, B_z)$ ;
- 4) электрическое поле  $\varphi$  потенциальное;
- 5) скорость  $V (0, 0, V_z)$ .

Для нахождения картины распределения потенциала и тока в поставленной задаче необходимо найти решение уравнений

$$\operatorname{div} j = 0, \quad \sigma \operatorname{grad} \varphi = j + \frac{\omega \tau}{|B|} j \times B \quad (1)$$

где  $j$  — вектор плотности тока, с граничными условиями на проводнике

$$\varphi = \text{const}, \quad j_\tau = \frac{\omega^2 \tau^2 B_n B_\tau / B^2}{1 + \omega^2 \tau^2 (B_n / B)^2} j_n \quad (2)$$

на изоляторе

$$\frac{\partial \varphi}{\partial n} = - \frac{\omega^2 \tau^2 B_n B_\tau / B^2}{1 + \omega^2 \tau^2 (B_n / B)^2} \frac{\partial \varphi}{\partial \tau} \quad (3)$$

В (2), (3)  $n$  и  $\tau$  — векторы внешней и касательной нормалей к стенке канала. К граничным условиям (2), (3) добавляются асимптотические условия на бесконечности и условия непротекания тока на оси симметрии.

Видно, что реализация граничных условий (2), (3) при моделировании затруднительна. В то же время нетрудно показать, что замена независимых переменных  $r, z$  на  $r, z'$ , где  $z' = z / \sqrt{1 + \omega^2 \tau^2}$ , сводит решение рассматриваемой задачи к нахождению решения уравнения Лапласа

$$\frac{\partial^2 \Phi}{\partial z'^2} + \frac{1}{r} \frac{\partial}{\partial r} r \frac{\partial \Phi}{\partial r} = 0 \quad (4)$$

и соответствующего ему уравнения [6] для функции тока  $U$

$$\frac{\partial}{\partial z'} \frac{1}{r} \frac{\partial U}{\partial z'} + \frac{\partial}{\partial r} \frac{1}{r} \frac{\partial U}{\partial r} = 0, \quad \frac{\partial U}{\partial r} = 2\pi r j_z, \quad \frac{\partial U}{\partial z'} = -2\pi r j_r \quad (5)$$

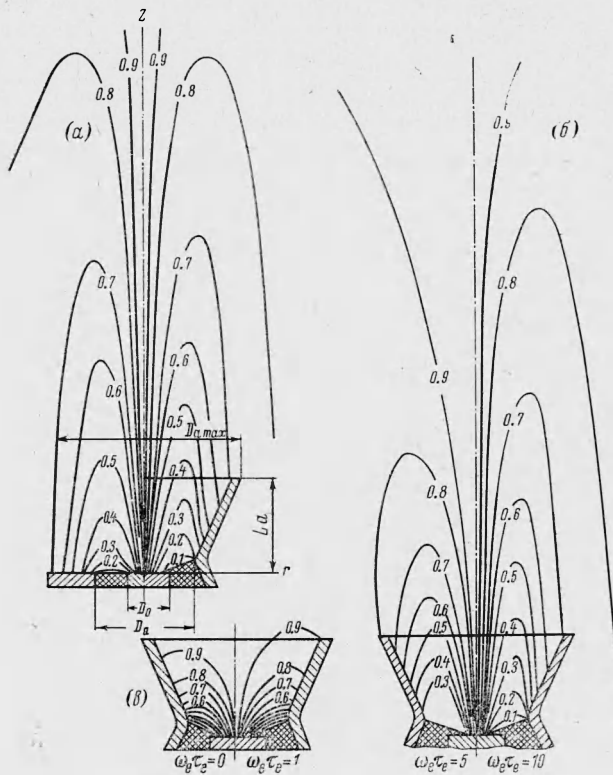
с граничными условиями на бесконечности и на оси симметрии, а также с условиями  $\varphi = \text{const}$ ,  $j_\tau = 0$  на проводнике и  $j_n = 0$  на изоляторе.

Решение уравнения (4) с указанными граничными условиями можно получить известными методами при моделировании на электролитической ванне [6]. Толщина слоя электролита в ванне  $\delta$  должна удовлетворять соотношению  $\delta(r, z') = kr$  ( $k = \text{const}$ ).

Обращая задачу для случая неоднородной среды, можно получить на электролитической ванне решение уравнения (5). В этом случае толщина слоя электролита в ванне должна удовлетворять соотношению  $\delta(r, z') = k/r$  ( $k = \text{const}$ ). Для ограничения  $\delta$  при  $r = 0$  необходимо вдоль оси симметрии установить медную пластину.

Устройство исследуемого канала приведено на фигуре, а. При моделировании использовался ток промышленной частоты. Распределение потенциала в электролите снималось по мостиковой схеме.

В соответствии с введенной заменой независимых переменных величина параметра  $\omega t$  определяет деформацию исследуемого канала, необходимую для его реализации в координатах  $r, z'$  при моделировании. При изготовлении модели исследуемого канала в координатах  $r, z'$  масштаб в направлении оси  $z'$  выбирается в  $\sqrt{1 + \omega^2 t^2}$  раз меньшим, чем в направлении оси  $r$ . При достаточно больших значениях параметра  $\omega t$ , таких что  $D_a \text{ max} \gg L_a / \sqrt{1 + \omega^2 t^2}$ , и любой форме исследуемого канала конфигурация электродов в плоскости  $rz'$  будет мало отличаться от электродов, выполненных в форме тонких дисков с диаметрами  $D_0$  и  $D_a \text{ max} - D_a$  и расположенных в плоскости  $z' = 0$  (см. фигуру, а). Обозначения  $D_0, D_a, D_a \text{ max}, L_a$  указаны на фигуре, а.



Для решения системы (1) полученное при моделировании в координатах  $r, z'$  распределение необходимо перестроить в координатах  $r, z$ .

Из сказанного выше следует, что при  $\omega t \gg L_a / D_a \text{ max}$  форма электродов не оказывает существенного влияния на распределение потенциала и токов вне наружного электрода. Приведенные на фигуре, а результаты моделирования иллюстрируют высказанное предположение. На фигуре, а приведен график распределения тока при  $\omega t = 10$  для двух различных конфигураций электродов. Часть графика справа от оси симметрии соответствует эксперименту, в котором внешний электрод имел форму конуса, как показано на фигуре. Левая часть графика получена при измерениях, когда внешний электрод был диском. Видно, что при  $z \gg L_a$  распределения токов в обоих экспериментах мало отличаются одно от другого.

Некоторые полученные при моделировании распределения тока в исследуемом канале в плоскости  $rz'$  приведены на фигуре, б, в. Здесь же показано влияние параметра  $\omega t$  на распределение токов. На фигуре, в слева от оси симметрии приведено распределение тока при значении параметра  $\omega t = 0$ , а справа — при  $\omega t = 1$ . На фигуре, б слева от оси симметрии  $\omega t = 5$ , справа  $\omega t = 10$ . Видно, что с ростом  $\omega t$  область, занятая токами, увеличивается. Причем при больших  $\omega t$  область, занятая токами в направлении оси  $z$ , будет увеличиваться линейно с ростом параметра  $\omega t$ , так как  $z \approx z' \omega t$ .

По известному распределению токов в плоскости  $rz$  можно рассчитать азимутальные холловские токи  $j_\theta$ . Из уравнения (1) следует

$$j_\theta = \omega t j_r = -\frac{\omega t}{\sqrt{1 + \omega^2 t^2}} \frac{1}{2\pi r} \frac{\partial U(r, z')}{\partial z'}$$

Так как при больших  $\omega t$  функция  $U(r, z')$  и ее производная  $\partial U / \partial z'$  слабо зависят от величины параметра Холла, то распределение плотности азимутального тока в координатах  $r, z'$  также будет мало меняться с изменением  $\omega t$ . При увеличении  $\omega t$  плотность азимутального тока меняться практически не будет, суммарный же азимутальный ток

$$U_\theta = \int_S j_\theta dr dz$$

будет нарастать линейно с  $\omega t$ , так как  $z \approx z' \omega t$ .

Поступила 29 VI 1970

#### ЛИТЕРАТУРА

1. Hurwitz H. Jr., Kib R. W., Sutton G. W. Influence of tensor conductivity on current distribution in a MHD generator. J. Appl., Phys., 1961, vol. 32, No. 2, p. 205.
2. Толмач И. М., Ясинская Н. Н. Эффект Холла в канале с секционированными электродами. Изв. АН СССР, Энергетика и транспорт, 1965, № 5.
3. Ватажин А. Б. Некоторые двумерные задачи о распределении тока в электропроводной среде, движущейся по каналу в магнитном поле. ПМТФ, 1963, № 2.
4. Ковалев А. И. Моделирование распределения плотности тока в магнитогидродинамическом канале с учетом анизотропии проводимости. ПМТФ, 1965, № 2.
5. Караплюс У. Моделирующие устройства для решения задач теории поля. М., Изд-во иностр. лит., 1962.
6. Фильчаков П. Ф., Панчишин В. И. Интеграторы ЭГДА. Моделирование потенциальных полей на электропроводной бумаге. Киев, Изд-во АН УССР, 1961.

#### ЭФФЕКТЫ ДИФФУЗИОННОГО РАЗДЕЛЕНИЯ ПРИ СТОЛКНОВЕНИИ ГИПЕРЗВУКОВЫХ ПОТОКОВ РАЗРЕЖЕННОЙ ГАЗОВОЙ СМЕСИ

*А. А. Бочкарёв, В. А. Косинов, В. Г. Приходько, А. К. Ребров*

(Новосибирск)

Излагаются результаты экспериментального исследования при помощи электронного пучка столкновения гиперзвуковых потоков аргон-гелиевой смеси. Область потока вблизи лобовой точки показывает повышенную концентрацию тяжелой компоненты смеси. Рассматривается столкновение двух встречных осесимметричных струй и столкновение плоских сверхзвуковых потоков у вогнутой пластины.

Столкновение сверхзвуковых потоков может привести к образованию некоторой области потока с градиентами давления, направленными к ее центру. Такой случай представляет интерес для изучения бародиффузионных процессов, вследствие которых упомянутая область обогащается тяжелой компонентой смеси. Схема потока с существенным обогащением может служить основой для создания аппаратов для разделения газовых смесей. Заметим, что разделению газов на одиночных струях посвящена работа [1].

1. Эксперименты проводились на аэродинамической трубе низкой плотности, оборудованной аппаратурой для электронно-пучковой диагностики разреженных потоков, аналогично описанной в работе [2].

Газ в исследуемой области потока возбуждался пучком электронов с энергией 10 кэВ, током  $1 \div 5 \text{ мА}$  (диаметр пучка  $\approx 1.5 \text{ мм}$ ). Анализатором излучения был спектрограф ИСП-51, используемый как монохроматор и оборудованный фотоумножителем ФЭУ-27.